

연속 전류 모드에서 Interleaved DC-DC Dual Boost 컨버터 소 신호 해석 및 제어기 설계

*박상은 **손승찬 *성세진
충남대학교* 국방과학연구소** 충남대학교*

Small Signal Analysis and Controller Design for Interleaved DC-DC Dual Boost Converter in Continuous Current Mode

*Sang-Eun Park **Seung-Chan Sohn *Se-Jin Seong
Department Electrical Engineering Chungnam Nat'l University*
Agency for Defense Development**

Abstract - Interleaved dual boost 컨버터는 전력 분배 시스템에서 입력 전류 리플을 줄이고 스위칭 손실을 줄일 수 있고, 필터 없이 입력라인 고조파 성분을 줄일 수 있으며, 더불어 역률 개선의 효과를 이룰 수 있다.

본 논문에서는 Interleaved Dual Boost(IDB) 컨버터를 운전하는 경우에 있어서 상태 공간 평균화법을 사용하여 소 신호 해석을 수행하였다. 그 해석 결과로 얻어진 제어 전달 함수를 바탕으로 IDB 컨버터에 적합한 수 개의 제어기를 설계하였다. 시뮬레이션을 행한 결과로 얻어진 여러 가지 제어기 탑입의 각 특성을 분석하고 그 중 IDB 컨버터로 가장 적절한 제어기를 제안하였다.

1. 서 론

IDB 컨버터 운전은 별렬 운전 개념을 기본으로 한다. 이러한 컨버터를 운전하는 경우에 있어서 동작 모드는 세 가지로 구분된다. 즉, 연속 전류 모드, 불연속 전류 모드, 임계 전류 모드로 구분되어진다. 여기서는 연속 모드에서의 운전을 바탕으로 소 신호 해석을 수행하였고, 제어기를 설계했다. IDB 형태의 구성에 있어서 가장 커다란 장점은 별렬로 구성된 서로 다른 컨버터 사이에서 입력 전류의 리플을 줄일 수 있고, 입력 파워 분배와 고조파 손실을 더불어 줄일 수 있다.[1]-[3]. N개의 interleaved된 컨버터를 운전할 경우 1/N로 스위칭 횟수를 줄일 수 있어 스위칭 소자의 스위칭 손실을 줄일 수 있다.

제안된 논문의 가장 주된 목적은 연속 인덕터 전류 모드에서 두 개의 interleaved된 셀(cells)을 동작시키는데 있어서 적절한 제어기를 설계하는 것인데 이 제어기 설계를 위해서 소 신호 해석을 바탕으로 제어기를 설계했다. 그럼 1에서와 같이 두 개의 interleaved 된 컨버터의 응용은 에너지 저장 인덕터의 전체적인 크기를 상당히 줄일 수 있을 뿐만 아니라 EMI 필터로서의 역할도 하게 된다.

그림 1은 IDB 컨버터의 회로 구성도이다. 그림 2는 IDB 컨버터를 스위칭하는데 있어서의 스위칭 파형과 각각의 인덕터에 흐르는 전류 파형을 보여준다. 스위치 Q_1, Q_2 는 push-pull 스위칭 소자로서 duty ratio가 50% 미만에서 동작한다. Q_1 이 ON인 동안, 입력전압 V_{in} 은 에너지를 L_1 에 저장하고, L_2 에 저장된 에너지를 부하에 전달한다. 역으로, Q_2 가 ON인 경우에는 L_2 가 에너지를 저장하고 L_1 에 저장된 에너지를 부하에 전달한다. 컨트롤러의 데드타임 때문에 Q_1, Q_2 가 모두 OFF인 구간이 존재한다.

소 신호 해석을 위하여 IDB 컨버터를 선형화한 상태 방정식으로 모델링하였고, 개 루프 해석(open loop

analysis)을 바탕으로 얻어진 제어 전달 함수를 통해 4가지 탑입의 제어기를 설계했다. 각 제어기의 시뮬레이션 결과를 통하여 최적의 제어기를 선정하였다.

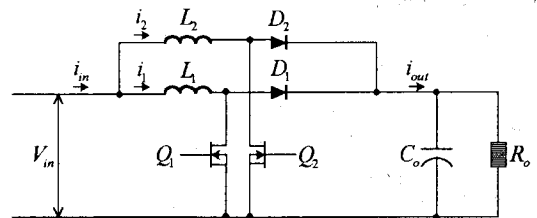


그림 1. Interleaved dual-boost의 회로구성도

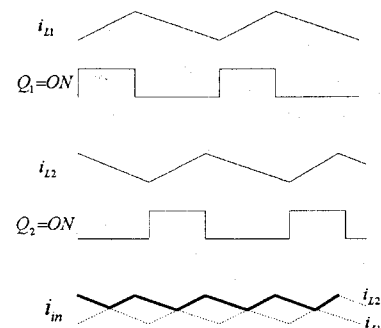


그림 2. IDB의 스위칭 파형과 인덕터
입력전류 파형

2. 개 루프 해석(Open Loop Analysis)

Q_1 이 ON일 경우와 OFF일 경우의 모드는 다음과 같이 상태방정식으로 표현할 수 있다. ON, OFF 두 토토풀로지는 그림 3a, 3b로 나타나게 된다. 본 논문에서 사용되는 스위칭 드ュ티비는 50%미만에서 동작하도록 했다. 스위치가 도통인 상태와 차단인 상태일 때, 각 상태에 대한 회로는 선형회로로 볼 수 있으므로, 각 회로에 대하여 한 주기 동안 나타나는 상태방정식은 다음과 같이 쓸 수 있다.

$$\dot{X} = A_1x + b_1 \quad 0 \leq t \leq T_{ON} \quad \dots (1)$$

$$\dot{X} = A_2x + b_2 \quad T_{ON} \leq t \leq T \quad \dots (2)$$

와 같은 두 모드가 상태 방정식으로 표현된다. 여기서 X 는 상태변수이다.

Q_1 이 ON일 경우의 미분방정식은 다음과 같다.

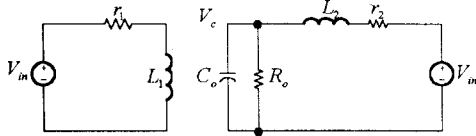


그림 3a. Q1이 ON일 경우의 IDB 토플러지

$$\frac{di_1}{dt} = \frac{V_{in}}{L_1} - \frac{r_1}{L_1} i_1 \quad \dots (3)$$

$$\frac{di_2}{dt} = \frac{V_{in}}{L_2} - \frac{r_2}{L_2} i_2 - \frac{v_c}{L_2} \quad \dots (4)$$

$$\frac{dv_c}{dt} = \frac{1}{C_o} i_2 - \frac{v_c}{R_o C_o} \quad \dots (5)$$

$$v_o = [0 \ 0 \ 1] \begin{bmatrix} i_1 \\ i_2 \\ v_c \end{bmatrix} \quad \dots (6)$$

식(4),(5),(6)를 식(1)에 대입하면

$$\begin{bmatrix} \frac{d i_1}{dt} \\ \frac{d i_2}{dt} \\ \frac{d v_c}{dt} \end{bmatrix} = \begin{bmatrix} -\frac{r_1}{L_1} & 0 & 0 \\ 0 & -\frac{r_2}{L_2} & -\frac{1}{L_2} \\ 0 & \frac{1}{C_o} & -\frac{1}{R_o C_o} \end{bmatrix} \begin{bmatrix} i_1 \\ i_2 \\ v_c \end{bmatrix} + \begin{bmatrix} \frac{1}{L_1} \\ \frac{1}{L_2} \\ 0 \end{bmatrix} V_{in} \quad \dots (7)$$

Q1이 OFF일 경우의 미분방정식은 아래와 같다.

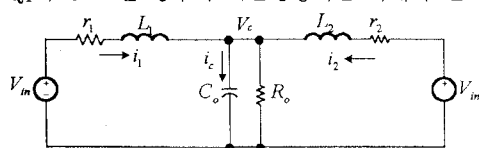


그림 3b. Q1이 OFF일 경우의 IDB 토플러지

$$\frac{di_1}{dt} = \frac{V_{in}}{L_1} - \frac{r_1}{L_1} i_1 - \frac{v_c}{L_1} \quad \dots (8)$$

$$\frac{di_2}{dt} = \frac{V_{in}}{L_2} - \frac{r_2}{L_2} i_2 - \frac{v_c}{L_2} \quad \dots (9)$$

$$\frac{dv_c}{dt} = \frac{1}{C_o} i_2 + \frac{i_1}{C_o} - \frac{v_c}{R_o C_o} \quad \dots (10)$$

$$v_o = [0 \ 0 \ 1] \begin{bmatrix} i_1 \\ i_2 \\ v_c \end{bmatrix} \quad \dots (11)$$

식(8),(9),(10),(11)을 식(2)에 대입하여 정리하면,

$$\begin{bmatrix} \frac{d i_1}{dt} \\ \frac{d i_2}{dt} \\ \frac{d v_c}{dt} \end{bmatrix} = \begin{bmatrix} -\frac{r_1}{L_1} & 0 & -\frac{1}{L_1} \\ 0 & -\frac{r_2}{L_2} & -\frac{1}{L_2} \\ \frac{1}{C_o} & \frac{1}{C_o} & -\frac{1}{R_o C_o} \end{bmatrix} \begin{bmatrix} i_1 \\ i_2 \\ v_c \end{bmatrix} + \begin{bmatrix} \frac{1}{L_1} \\ \frac{1}{L_2} \\ 0 \end{bmatrix} = V_{in} \quad \dots (12)$$

로 표현된다. 역으로, Q2인 경우에 있어서도 동일하게 구해진다. 여기서 V_{in} 은 입력전압, V_o 는 출력전압, C_o 는 부하 저항에 병렬 연결된 캐패시터의 캐패시턴스, L_1 과 L_2 는 interleaved된 인덕터의 인덕턴스, r_1 과 r_2 는 각 인덕터의 권선 저항이다.

여기서,

$$A = dA_1 + d'A_2 \quad \dots (13)$$

$$b = db_1 + d'b_2 \quad \dots (14)$$

$$c = dc_1 + d'c_2 \quad \dots (15)$$

d 는 정상상태 듀티비(duty ratio)이고 $d=1-d'$ 이다.

위에서 전개 된 식을 바탕으로 제어기를 설계하기 위한 제어 전달함수(Control to output transfer function)를 구하면 아래와 같다.

$$\frac{\hat{v}_o(s)}{\hat{d}(s)} = -\frac{v_{in}}{\Delta_1 \Delta_2} \times \left[\alpha s^2 + \left(\frac{2r}{L} \alpha + \frac{(1-d)}{C_o} \beta \right) s + \frac{r^2}{L^2} \alpha + \frac{(r-dr)}{C_o L} \beta \right] \quad \dots (16)$$

여기서,

$$\alpha = -\frac{1}{C_o} \left(\frac{r}{C_o L^2} R + \frac{d}{C_o L^2} \right), \beta = \frac{2r-dr}{C_o L^3} \text{ 이고},$$

Δ_1, Δ_2 는 A행렬과 (sI-A)행렬의 각 역 행렬이고, L_1, L_2 값과 각 권선 저항은 같은 것으로 했다.

3. 제어기 설계 및 시뮬레이션 결과

본 논문에서는 4가지 타입의 제어기를 먼저 소개하고, 각 제어기의 특징과 이러한 제어기를 어떻게 설계했을 경우에 가장 적절한 응답을 얻을 수 있는 가를 시뮬레이션을 통해서 확인했다.

(1) 타입 1 제어기

타입 1 제어기는 하나의 저항과 하나의 캐패시터로 구성된 가장 간단한 오차 증폭기이다. 원점에 단일 극점(single pole)을 가지므로 이 제어기는 적분기 형태를 취한다.

IDB 컨버터의 제어기가 타입 1인 경우의 시뮬레이션 한 결과는 그림 4와 같다. 스텝 응답으로부터 오버슈트(overshoot)가 존재하지 않으며 다른 컨트롤러와 비교해서 정상 상태에 도달하는 시간이 늦다. 이 제어기가 정상 상태에 도달하는 시간은 0.25s 정도이다.

(2) 타입 2 제어기

타입 2제어기는 하나의 영점과 두 개의 극점을 갖는다. 여기서는 영점과 두 번째 극점 사이에는 평탄한 이득 특성을 보이는데, 이 평탄한 지점에서 이득 교차 주파수(gain crossover frequency)를 설정할 경우에 가장 적절한 응답을 보임을 확인할 수가 있었다.

제어기가 타입 2인 경우의 시뮬레이션 결과는 그림 5와 같이 대략 20%의 오버슈트가 생기고, 정상 상태에 도달하는 시간이 0.07s 정도로 타입 1보다는 3배 이상 향상되었다.

(3) 타입 3 제어기

타입 3제어기는 원점에 있는 극과 그 밖의 극 하나와 두 개의 영점을 갖는다. 이 제어기는 타입 2와 다르게 두 개의 영점 사이에 평탄한 이득 특성을 보인다.

그림 6과 같이 타입 3 제어기는 20%미만의 오버슈트를 갖고, 정상 상태 응답에 도달하는데 있어 0.05s 정도가 소요된다.

두 번째 영점에 최대한 인접하여 이득 교차 주파수(gain crossover frequency)를 설정하여야만 이 제어기의 이득, 위상 여유가 가장 알맞게 얻어짐을 시뮬레이션 결과로부터 확인할 수 있었다.

(4) 타입 4 제어기

타입 4 제어기는 두 개의 영점과 두 개의 극점을 갖는다. 이 제어기는 타입 3 제어기와 유사하지만 두 군데의 평탄한 이득을 보인다.

타입 4 제어기의 시뮬레이션 결과는 그림 7과 같이 가장 빠르게 정상 상태에 도달함을 확인 할 수 있었으며, 가장 적은 오버슈트(약 13%)를 갖는다. 정상상태에 도달하는 응답 곡선에서 많은 링잉(ringing)이 일어나고 있음을 확인 할 수 있었다.

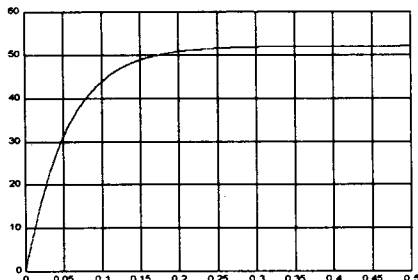


그림 4. 타입1 제어기에 의한 스텝응답

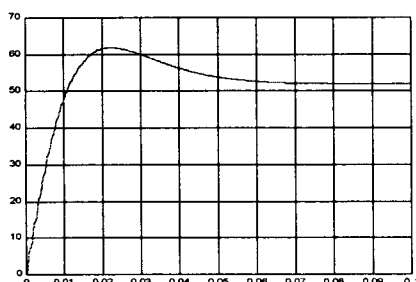


그림 5. 타입 2 제어기에 의한 스텝 응답

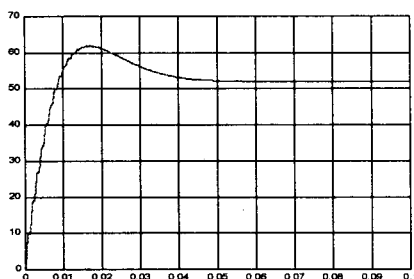


그림 6. 타입 3 제어기의 스텝 응답

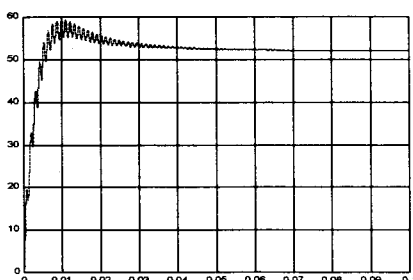


그림 7. 타입 4 제어기의 스텝 응답

3. 결 론

본 논문에서는 IDB 컨버터의 소 신호 해석과 그 결과를 토대로 얻어진 제어 전달함수를 가지고 4가지의 제어기를 설계하여 스텝 응답에 대한 시뮬레이션 하였다.

각 제어기를 설계하는데 다른 특징이 존재함을 확인하였고, 제어기 설계 관점에 있어서는 타입 3의 제어기가 가장 적절한 제어기로 생각할 수 있다.

시스템의 특징 및 각 디자이너의 필요성에 따라서 원하는 제어기를 선택할 수 있도록 시뮬레이션 결과를 제시하였다.

본 논문에서 얻어진 결과를 토대로 실제 실험에 적용하여 얻어진 실험 결과와 시뮬레이션 결과를 비교, 분석하는 것이 향후 과제라고 생각한다.

(참 고 문 헌)

- [1] Roberto Giral and Luis Martinez - Salamero: Switched Capacitor Interleaved Dual Boost Regulator with Sliding Mode Control, PESC98 in IEEE, Vol 4, pp. 1523-1538, 1998.
- [2] Roberto Giral, Luis Martinez, Javier Calvente, Ramon Leyva and Enric Vidal-Idiarte: Self-Oscillating Interleaved Boost Regulator With Loss Free Resistor Characteristics, IEEE International Symposium on Circuits and system, pp. 825-828, 1997.
- [3] B. Miwa, D. Otten, and M. Schlecht, High efficiency power factor correction using interleaving techniques, Proceedings of IEEE APEC92, pp.557-568. 1992.
- [4] Schramm, D.S. ; Buss, M.O, Mathematical analysis of a new harmonic cancellation technique of the input line current in DICM Boost converters, PESC98 Record. 29th Annual IEEE, Vol 2, pp. 1337-1343, 1998.
- [5] Takuya Ishii and Yoshio Mizutani, Power Factor Correction using Interleaving Technique for Critical Mode Switching Converters, PESC98 Record, 29th Annual IEEE Vol 1, pp.905-910.
- [6] Laszlo Balogh and Richard Redl: Power-factor correction with interleaved boost converters in continuous-inductor-current mode, Proceedings of APEC93, pp.168-174.
- [7] 김회준, "스위치 모드 파워 서플라이", 성안당, 1998
- [8] Keith H. Billing: SWITCHMODE POWER SUPPLY HANDBOOK, McGraw-Hill, 1999 ISBN 0-07-006719-8.
- [9] RON LENK: Practical Design of Power Supplies, McGraw -Hill, 1998 ISBN 0-07-134324-5.